

بررسی تنوع، ترکیب، فراوانی و تراکم گونه‌ای جوامع ماکروبتیک در خلیج نایبند (خلیج فارس)

چکیده

در این مطالعه به بررسی تنوع، ترکیب، فراوانی و تراکم گونه‌ای جوامع ماکروبتیک در خلیج نایبند (خلیج فارس) پرداخته شده است. نمونه‌برداری از ۲۰ ایستگاه در زمستان ۱۳۹۷ با هدف بررسی ترکیب گروه‌های ماکروبتیک در نقاط مختلف خلیج نایبند انجام گرفت. از هر ایستگاه ۱ نمونه (با ۳ تکرار) و در مجموع ۶۰ نمونه رسوب با گرب Van veen برداشت شد. آزمایشات و شناسایی ماکروبتوزها بر اساس روش استاندارد MOOPAM, 2010 انجام گرفت. داده‌ها با نرم‌افزارهای تخصصی Biodiversity Pro 2، PRIMER 6 و نرم‌افزار SPSS 22 آنالیز شدند. مطابق نتایج به دست آمده در بخش تنوع ماکروبتوزی در مجموع ۴۹ تاکسون (جنس و گونه) از ۳۹ خانواده و ۸ رده ماکروبتوزی شناسایی شد. رده کرم‌های پرتار با ۲۳ تاکسون بیشترین تنوع، سخت‌پوستان و مالاکوسترا با ۱۲ تاکسون، دوکفه‌ای‌ها با ۶ تاکسون، شکم‌پایان با ۵ تاکسون و سایر گروه‌ها (خارداران، خیارسانان و حشرات) هر کدام ۱ تاکسون در ترکیب جمعیتی ماکروبتوزهای منطقه مطالعاتی مشاهده شدند. در میحث فراوانی ماکروبتوزها ۳۴۸۲۵ عدد ماکروبتوز جداسازی و شناسایی شد. میانگین تعداد ماکروبتوزها در منطقه مطالعاتی برابر با $130/77 \pm 1741$ فرد در مترمربع ثبت شد. بیشینه و کمینه تراکم ماکروبتوزها به ترتیب در ایستگاه نزدیک به دماغه نایبند و ایستگاه نزدیک به اسکله عسلویه گزارش شد. از آنجاکه اکثریت ایستگاه‌های آلوده در مجاورت و نزدیکی منطقه عسلویه قرار دارند می‌توان با احتمال بسیار بالا ادعا نمود آلودگی‌های صنایع مستقر در منطقه پارس جنوبی عامل اصلی در تغییرات جوامع ماکروبتوزی خلیج نایبند است و لذا انجام اقدامات اصلاحی می‌تواند از نابودی این اکوسیستم ارزشمند جلوگیری نماید.

واژگان کلیدی: خلیج نایبند، جوامع ماکروبتیک، شاخص‌های اکولوژیک، آلودگی صنایع.

علی قنواتی اصل^۱

سید محمدباقر نبوی^۲

مریم محمدی روزبهانی^{۳*}

سیما سبزی علی پور^۴

سید مسعود منوری^۵

۱، ۲، ۳، ۴، ۵. گروه محیط‌زیست، واحد اهواز، دانشگاه

آزاد اسلامی، اهواز، ایران.

*مسئول مکاتبات:

Mmohammadiroozbahani@yahoo.com

کد مقاله: ۱۴۰۰۳۸۸۳

تاریخ دریافت: ۱۴۰۰/۲/۱۲

تاریخ پذیرش: ۱۴۰۰/۰۵/۱۵

این مقاله پژوهشی و برگرفته از رساله دکتری است.

مقدمه

ماکروبتوزها از زیست‌مندان بستر دریاها و اقیانوس‌ها بشمار می‌روند که طیف گسترده‌ای از بی‌مهرگان مانند پرتاران، نرم‌تنان و سخت‌پوستان را شامل می‌شوند. این موجودات کف زی دارای نقشی کلیدی در زنجیره غذایی دریاها می‌باشند (Gregory, 2007) و عمده‌ترین منبع غذایی آبزیان بشمار می‌روند به نحوی که هرگونه تغییر در محیط می‌تواند صدمات زیانباری به این اجتماعات وارد نماید (نبوی، ۱۳۷۷). بنتوزها همچنین در ساختار، تولید، دینامیک و سلامت محیط‌زیست دریایی، ترکیب و برگشت مواد آلی در بستر و نیز چرخش مجدد مواد مغزی به لایه‌های بالائی آب‌ها نقشی اساسی دارند (McIntyre and Eleftheriou, 2005).

رسوبات دریایی محل دفن نهائی انواع آلاینده‌های وارد شده به محیط‌زیست دریا بشمار می‌روند. از آنجائی که ماکروبتوزها در تماس مستقیم با رسوبات هستند و یا از درون آن‌ها تغذیه می‌کنند، لذا افزایش آلاینده‌ها در رسوبات به‌طور مستقیم بر روی ساختار اجتماعات آن‌ها تأثیر می‌گذارند (Fleeger et al., 2003)؛ بنابراین می‌توان از تغییرات ایجاد شده در ساختار اجتماعات این موجودات که ناشی از آلاینده‌های محیطی هستند به‌عنوان شاخص‌های زیستی برای تحلیل آلودگی محیط‌زیست استفاده نمود. از دیگر عوامل تأثیرگذار بر پراکنش و تنوع گونه‌ای ماکروبتوزها

می‌توان به نوع بافت بستر، میزان شوری، دما، اکسیژن محلول، pH، میزان مواد آلی (TOM) و کل کربن آلی (TOC) موجود در رسوبات اشاره نمود.

طبق گزارش سازمان محیط‌زیست خلیج نایبند یکی از مناطق پنج‌گانه حساس سواحل ایران بوده و در میان این مناطق نیز از مهم‌ترین اکوسیستم‌های ساحلی بشمار می‌رود. به‌طور کلی خلیج نایبند دارای زیستگاه‌ها و اکوسیستم‌های ویژه‌ای مانند رویشگاه‌های حرا بساتین و بیدخون، اکوسیستم‌های مرجانی و خوریات است. بررسی‌های مقدماتی نشان داده این اکوسیستم‌ها در ایران زیستگاه مناسبی برای نوزادان میگو می‌باشند. ارزیابی وضعیت زیستی جنگل‌های مانگرو عسلویه جهت تعیین مناطق تحت اثر و دارای ریسک اکولوژیک بالا در راستای شناسایی منشأ استرس در جهت بررسی راهکارهای کاهش و از بین بردن عوامل مخرب محیط‌زیست منطقه صورت می‌پذیرد. علاوه بر این، ارتقاء دانش ما در مورد اکوسیستم موردنظر کمک فراوانی در جهت اتخاذ تصمیم‌های مدیریتی در راستای حفاظت از این گنجینه محیطی زیستی خواهد کرد.

منطقه ویژه اقتصادی انرژی پارس در حاشیه خلیج فارس و با مساحت ۴۶ هزار هکتار در استان بوشهر قرار گرفته است که خود مشتمل بر دو منطقه پارس جنوبی و پارس شمالی می‌باشد. مجاورت با تأسیسات نفت و گاز در منطقه عسلویه از دو جهت می‌تواند برای اکوسیستم‌های موجود در خلیج نایبند مخاطره‌آمیز بوده و تعادل اکولوژیک آن‌ها را برهم بزند؛ یکی به‌طور غیرمستقیم و به علت فعالیت‌های توسعه‌ای که در منطقه رخ می‌دهد، از جمله ساخت‌وسازهای ساحلی و دیگری به‌طور مستقیم مانند تخلیه پساب و فاضلاب صنایع مستقر، خروج آب‌های خنک‌کننده تأسیسات و نیز احتمال نشت نفت، گاز و مشتقات آن‌ها به داخل آب‌های منطقه (کرمی خانیکی، ۱۳۸۳). پارک ملی دریایی نایبند در حدود ۳۲۰ کیلومتری جنوب شرقی شهرستان بوشهر قرار گرفته است و شامل: خلیج نایبند، منطقه نایبند و جنگل‌های حرا (مرزهای عسلویه، بساتین و هاله) می‌باشد.

سنجش و ارزیابی تغییرات در جوامع کف زی (اعم از دریایی و ساحلی) به مدت چندین دهه است که به‌طور وسیعی جهت شناسایی و پایش اثرات انسانی بر محیط‌زیست این حوزه‌ها مورداستفاده قرار می‌گیرد. امروزه مشخص شده است که آنالیز ساختار جوامع مذکور در ارزیابی مخاطرات محیط زیستی مربوط به انواع مختلف صنایع و آلاینده‌ها کاربرد مناسبی دارد (Gray and Elliott, 2009). این دامنه وسیع کاربرد تا حد زیادی به این دلیل است که موجودات کف زی تقریباً غیر متحرک هستند و اثرات آلاینده‌ها را به‌مرورزمان حفظ کرده و نشان می‌دهند و از همه مهم‌تر، نمونه‌برداری، شناسایی و شمارش این گروه از موجودات در مقایسه با سایر گروه‌ها از سهولت بیشتری برخوردار است. از آنجایی که کف زیان نسبتاً بی‌حرکت هستند نمی‌توانند از شرایط وخیم درون ستون‌های آب و رسوب پرهیز کنند. همچنین جوامع کف زی به‌طورمعمول از گونه‌های مختلفی تشکیل شده‌اند که طیف گسترده‌ای از تحمل‌های فیزیولوژیکی برای استرس، حالت‌های تغذیه و فعل‌وانفعالات وابسته به تغذیه را نشان می‌دهد. از این رو بی‌مهرگان کف زی شاخص‌های زیستی مناسبی برای کیفیت محیط‌زیست در محیط‌های ساحلی هستند (Borja and Dauer, 2008). Salimi و همکاران (۲۰۲۱) در مطالعه‌ای تحت عنوان ترکیب، زیست‌توده و تولید ثانویه مجموعه بی‌مهرگان ماکروبتیک در جنگل حرا در خلیج نایبند (خلیج فارس) در مجموع ۶۰ گونه ماکروبتیک شناسایی نمود. گاستروپودها بیشتر زیست‌توده و تولید ثانویه را به خود اختصاص داده بودند. گاستروپودها و سخت‌پوستان (با گونه‌های بزرگ) گروه غالب بودند. به‌طور کلی نتایج نشان داد که فعالیت‌های انسانی، بر کاهش تراکم ماکروبتوز و تولید ثانویه آن‌ها مؤثر است. Bogart و همکاران (۲۰۲۱) در مطالعه‌ای تحت عنوان ساختار و ترکیب جامعه ماکروبتیک مرتبط با زیستگاه کم‌عمق گیاهان حرا دریایی در امتداد ساحل جنوبی دریای سرخ در عربستان سعودی، ۴۴۹۱ فرد را در ۱۸ گروه تاکسونومی شناسایی کردند که Polychaetes گروه غالب بودند و پس‌از آن Gammarids, Pelecypods و Gastropods قرار گرفتند. ضمناً غنای گونه در ایستگاه‌ها متفاوت نبود. همچنین تفاوت فراوانی ماکروبتوزها با نوع رسوب و وجود و عدم وجود گیاهان دریایی مرتبط بود. Tavanaian و همکاران (۲۰۲۱) در مطالعه‌ای تحت عنوان تأثیر عوامل محیطی بر ویژگی‌های جوامع ماکروبتیک در کف صخره‌های مرجانی جزیره لارک در خلیج فارس در دو ایستگاه مطالعاتی، نتیجه گرفتند تراکم ماکروبتیک اختلاف معنی‌داری را بین فصول نشان می‌دهد، شاخص شانون-وینر از ۲,۰۷ تا ۲,۸۹ متغیر بود که نشانگر تنوع متوسطی در هر دو ایستگاه می‌باشد. حداکثر تنوع موجودات ماکروبتیک در طول بهار مشاهده شد. همچنین تجزیه و تحلیل

PCA نشان داد که عوامل اصلی کنترل‌کننده محیط‌زیست تراکم ماکروبنیتیک فسفات، اکسیژن محلول و کل مواد آلی می‌باشد. Pandiyarajan و همکاران (۲۰۲۱) فصلی بودن مجموعه‌های ماکروبنیتیک و کیفیت محیط زیستی بزرگ‌ترین خور موسمی در طول ساحل غربی هند را بررسی نمودند. نتایج نشان داد بارندگی‌های موسمی، تغییرات آبشار کوچی، تغییرات رودخانه‌ای متعاقب آن و بالا رفتن کدورت، تأثیر نامطلوب عمیقی بر فراوانی، غنا و تنوع مجموعه‌های ماکروبنیتیک داشته است. ضمناً وضعیت اکولوژیکی منطقه مورد مطالعه از نظر آلودگی کم تا متوسط ارزیابی شد. Craveiro و همکاران (۲۰۲۱) اثرات فوری نشت نفت بر روی جانوران ماکروبنیتیک مرتبط با جلبک‌های دریایی بزرگ در سواحل برزیل را بررسی نمودند. نتایج نشان داد نشت نفت باعث تأثیر بر جوامع ماکروبنیتیک Epifauna شده است (کاهش غنا و فراوانی گونه‌ها) در حالی که تعداد گونه‌های فرصت‌طلب افزایش نشان داده بودند. Guerra-García و همکاران (۲۰۲۱) کیفیت اکولوژیکی جزایر ایریای جنوبی را مورد ارزیابی قرار دادند. با تلفیق داده‌های بیولوژیکی و محیط زیستی، نتیجه گرفتند که متغیرهای محیطی، بیشترین ارتباط را با ماکروفونا داشتند. در این مطالعه وضعیت اکولوژیکی جزایر از ضعیف تا خوب طبقه‌بندی شد. Washburn و همکاران (۲۰۱۷) در مطالعه‌ای ساختار جامعه ماکروبنیتیک را یک سال پس از حادثه انفجار Deepwater Horizon در خلیج مکزیک مورد بررسی قرار دادند. تنوع و غنای گونه‌ای در شعاع یک کیلومتری اطراف دهانه چاه بسیار پایین گزارش شد و تنوع کمتری نسبت به قبل در چندین ایستگاه مطالعاتی در ۲۹ کیلومتری جنوب غربی چاه مشاهده شد. سلیمی و همکاران (۱۳۹۸) در مطالعه تحت عنوان بررسی سلامت زیستی جنگل‌های حرای خلیج نایبند با استفاده از ماکروبتوزها، در مجموع ۲۰ تاکسون ماکروبتوز از سه شاخه جانوری را شناسایی نمودند. دو گروه شکم پایان و دوکفه‌ای‌ها از شاخه نرم‌تنان به ترتیب با غالبیت گونه‌های Cingulata و pirenella، Gallus protapes، ۴۸ درصد از جمعیت کل ماکروبتوزها را تشکیل دادند. آنالیز واریانس دوطرفه نشان‌دهنده اختلاف معنی‌دار در فراوانی ماکروبتوزها در بین فصول و در ترانسکت‌های مختلف بود. در مجموع همه گروه‌های بنتوزی مشاهده‌شده، بیشترین درصد گونه‌ها متعلق به شکم پایان با ۲۸ درصد و کمترین مربوط به گروه سخت‌پوستان عالی با ۱۲ درصد است. در این مطالعه بیشترین فراوانی گونه‌های ماکروبتوز به ترتیب متعلق به شکم پایان با ۱۹ گونه، دوکفه‌ای‌ها با ۱۲ گونه، ناجور پایان با ۱۱ گونه، پر تاران با ۱۰ گونه و سخت‌پوستان عالی با ۱۰ گونه تعیین شد. مورکی و همکاران (۱۳۹۵) در مطالعه‌ای پراکنش مکانی جمعیت روزنه داران کف زی را در خلیج نایبند و خور هاله، در طول یک دوره نمونه‌برداری از فروردین ماه ۱۳۹۰ لغایت فروردین ماه ۱۳۹۱ مورد مطالعه قرار دادند. نتایج نشان داد که ترکیب جمعیتی روزنه داران کف زی در شش ایستگاه مورد بررسی تا حد قابل ملاحظه‌ای شبیه به هم بوده به گونه‌ای که اختلاف معنی‌داری در پراکنش گونه‌ها در شش ایستگاه مشاهده نشد. کامرانی و همکاران (۱۳۹۲) در مطالعه‌ای اقدام به شناسایی دوکفه‌ای‌ها و شکم پایان سواحل بندرعباس نمودند. نتایج نشان از اختلاف در میزان فراوانی خانواده‌های مطالعه شده در بهار ۸۹ نسبت به سایر فصول مورد مطالعه دارد. دشتی (۱۳۹۱) در مطالعه‌ای ساختار و تنوع اجتماعات ماکروبنیتیک خور اسماعیلی ماهشهر از خوریات فرعی خور موسی در جنوب استان خوزستان را مورد بررسی قرار داد. بر اساس نتایج به‌دست‌آمده در مجموع ایستگاه‌ها و فصول مختلف نمونه‌برداری ۴ رده از بی‌مهرگان کف زی شامل پر تاران، دوکفه‌ای‌ها، شکم پایان و سخت‌پوستان مشتمل بر ۴۴ گونه و ۱۱۰۱۹ عدد در منطقه شناسایی گردیدند. بیشترین تراکم موجودات کف زی در منطقه مورد مطالعه متعلق به گروه پر تاران بوده و گروه‌های ماکروبتوزی دوکفه‌ای‌ها، شکم پایان و سخت‌پوستان در رده‌های بعدی قرار گرفتند. در این مطالعه به بررسی تنوع، ترکیب، فراوانی و تراکم گونه‌ای جوامع ماکروبنیتیک در ۲۰ ایستگاه مختلف از خلیج نایبند پرداخته شده است.

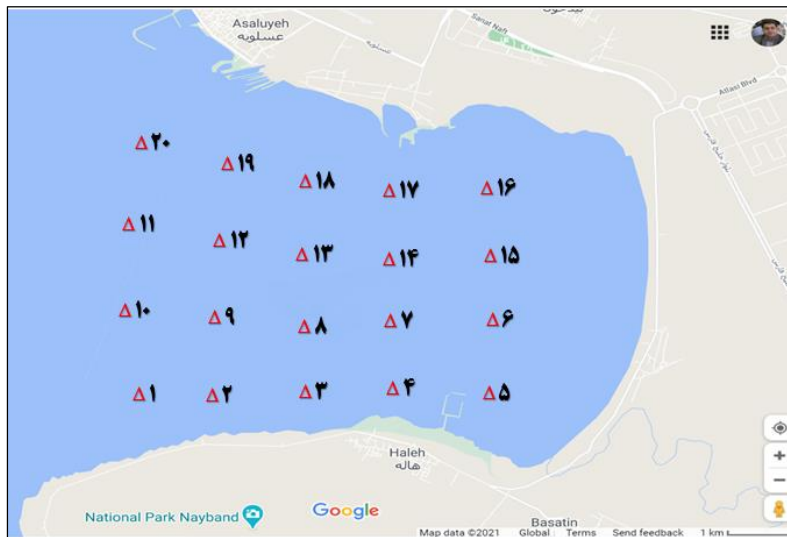
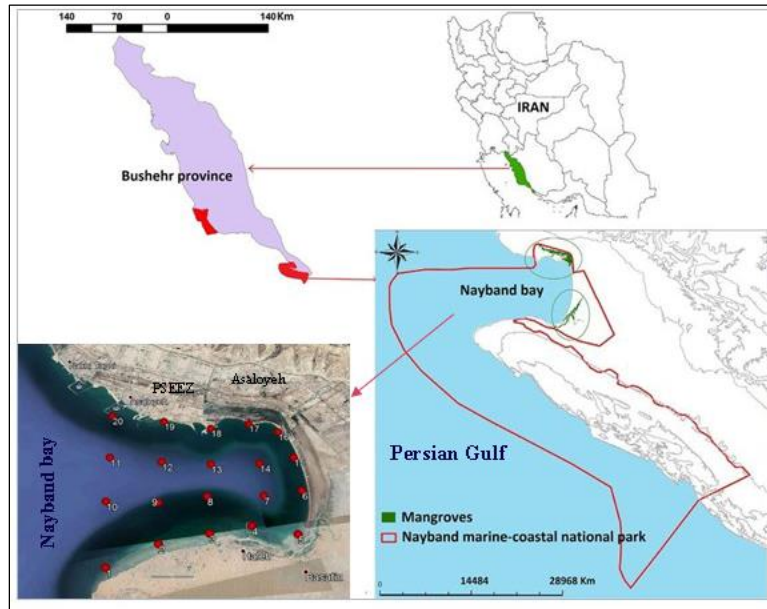
مواد و روش‌ها

پس از مطالعه پژوهش‌های صورت گرفته در منطقه نایبند و انجام یک گشت زمینی و دریایی از سواحل منطقه نسبت به شناسایی و ثبت اکوسیستم‌ها و زیستگاه‌های مختلف اقدام شد. نمونه‌برداری در زمستان ۹۷ انجام گرفت. بر اساس داده‌های گردآوری‌شده، ۲۰ ایستگاه جهت

نمونه‌برداری انتخاب شد. جدول ۱ مختصات جغرافیایی ایستگاه‌ها و شکل ۱ محل قرارگیری ایستگاه‌ها را در تصویر ماهواره‌ای نرم‌افزار Google Erath نشان می‌دهد. ایستگاه‌ها به گونه‌ای انتخاب شدند که معرف بخش‌های مختلف خلیج نایبند باشند. به عبارت دیگر ایستگاه‌های نزدیک به عسلویه و منطقه ویژه پارس جنوبی، ایستگاه‌های میانه خلیج نایبند (از دماغه خلیج تا ساحل جنگل حرا) و ایستگاه‌های مجاور بساتین و هاله در فواصل مشخص به گونه‌ای انتخاب شدند تا تحلیل جامعی از منطقه خلیج نایبند به دست آید.

جدول ۱: مختصات جغرافیایی ایستگاه‌های مطالعاتی (خلیج نایبند-۱۳۹۷).

شماره ایستگاه	مشخصه خاص	طول جغرافیایی	عرض جغرافیایی
۱	دماغه نایبند	۵۳°۳۵'۱,۱۸"E	۲۷°۲۳'۵۱,۸۴"N
۲	منطقه مرجانی	۵۳°۳۶'۲۲,۵۸"E	۲۷°۲۴'۱۴,۳۰"N
۳	منطقه مرجانی	۵۳°۳۷'۳۹,۹۴"E	۲۷°۲۴'۱۸,۶۱"N
۴	اسکله هاله: تردد قایق‌ها و لنج‌های صیادی	۵۳°۳۸'۴۴,۹۷"E	۲۷°۲۴'۲۱,۱۵"N
۵	ابتدای خور بساتین	۵۳°۳۹'۴۸,۲۰"E	۲۷°۲۳'۵۹,۱۸"N
۶	منطقه مانگرو	۵۳°۴۰'۱۸,۸۱"E	۲۷°۲۵'۴,۱۹"N
۷	-	۵۳°۳۹'۱۷,۷۱"E	۲۷°۲۵'۴,۱۵"N
۸	-	۵۳°۳۷'۵۱,۵۴"E	۲۷°۲۵'۱۵,۷۶"N
۹	-	۵۳°۳۶'۳۵,۰۴"E	۲۷°۲۵'۱۶,۹۴"N
۱۰	-	۵۳°۳۵'۱۶,۶۷"E	۲۷°۲۵'۲۹,۸۵"N
۱۱	-	۵۳°۳۵'۳۳,۹۴"E	۲۷°۲۶'۴۲,۵۶"N
۱۲	-	۵۳°۳۶'۵۴,۶۴"E	۲۷°۲۶'۲۳,۰۷"N
۱۳	-	۵۳°۳۸'۱۱,۲۴"E	۲۷°۲۶'۷,۹۰"N
۱۴	-	۵۳°۳۹'۲۸,۲۰"E	۲۷°۲۵'۵۸,۲۲"N
۱۵	منطقه مانگرو	۵۳°۴۰'۲۶,۰۵"E	۲۷°۲۵'۰,۵۶"N
۱۶	مانگرو بیدخون	۵۳°۴۰'۱۷,۰۵"E	۲۷°۲۶'۴۹,۴۸"N
۱۷	مانگرو بیدخون	۵۳°۳۹'۳۳,۴۴"E	۲۷°۲۷'۱۱,۳۵"N
۱۸	کانال فاضلاب شهری	۵۳°۳۸'۲۸,۵۷"E	۲۷°۲۷'۱۱,۸۵"N
۱۹	نزدیک به منطقه ویژه	۵۳°۳۷'۱۴,۱۰"E	۲۷°۲۷'۳۵,۹۸"N
۲۰	اسکله عسلویه: نزدیک‌ترین ایستگاه به پتروشیمی	۵۳°۳۵'۵۰,۲۳"E	۲۷°۲۷'۵۸,۷۲"N



شکل ۱: موقعیت ایستگاه‌های مطالعاتی در تصویر ماهواره‌ای Google Earth (خلیج نایبند-۱۳۹۷).

عملیات نمونه‌برداری در اسفندماه ۱۳۹۷ و در طی یک روز انجام شد. موقعیت هر ایستگاه به وسیله دستگاه موقعیت‌یاب جهانی GPS کنترل گردید. برخی از متغیرها فیزیکی و شیمیایی آب دریا مانند دما، شوری، اکسیژن محلول و pH به‌طور هم‌زمان و با دستگاه مولتی متر HORIBA مدل U10 و با سه تکرار ثبت شد. نمونه‌برداری از رسوبات با استفاده از روش‌های استاندارد و به‌ویژه دستورالعمل اختصاصی کشورهای منطقه خلیج فارس (MOOPAM) انجام گرفت (Moopam, 1999). در این مطالعه در مجموع تعداد ۶۰ نمونه رسوبی به‌منظور جمع‌آوری و شناسایی ماکروبتوزها توسط گرب ون وین با سطح مقطع ۰/۰۲۵ مترمربع از ۲۰ ایستگاه مطالعاتی برداشت شد. به‌منظور آماده‌سازی نمونه‌های کف زیان (ماکروبتوز) پس از برداشت رسوب، بلافاصله نمونه‌ها با استفاده از آب دریا و الک ۰/۰۵ میلی‌متر شستشو و فیلتر گردیدند. کف زیان زنده موجود در هر نمونه،

از رسوب جداسازی شده و بلافاصله در ظروف پلاستیکی حاوی فرمالین ۴ درصد بافر تثبیت شده و به آزمایشگاه انتقال داده شدند. این نمونه‌ها پس از انتقال به آزمایشگاه و رنگ‌آمیزی با محلول ۱ گرم در لیتر رُز بنگال به مدت ۴۵ دقیقه مجدداً در الک ۰/۵ میلی‌متر شستشو و توسط اتانول نگهداری شدند. در ادامه با استفاده از میکروسکوپ و استریوسکوپ Nikon SMZ 1500 و کلیدهای شناسایی معتبر داخلی و خارجی، افراد جداسازی شده تا پایین‌ترین سطح آرایه شناختی ممکن شناسایی و هم‌زمان شمارش گردیدند و از گونه‌های شاخص ماکروبتوزی با میکروسکوپ الکترونی (SEM) در دانشگاه تهران تصویربرداری شد. منابع و کلیدهای شناسایی مورد استفاده شامل: Atlas of the Persian Gulf (Washburn *et al.*, 2017) Mollusks Seashells of Eastern Arabia (Moopam, 1999) Guide to Shells و (Hosseinzadeh Sahafi *et al.*, 2001) بود. در مرحله آنالیز آماری، جهت بررسی نرمال بودن داده‌ها از آزمون Kolmogorov-Smirnov با سطح معنی‌داری ۰/۰۵ استفاده گردید و نرمال نبودن توزیع داده‌ها با استفاده از روش تبدیل لگاریتمی ($\log X+1$) برای داده‌های محیطی و ریشه دوم و یا ریشه چهارم برای داده‌های زیستی برطرف شد. به منظور بررسی اختلاف معنی‌دار بین گروه‌ها، از آزمون نرمال ANOVA و به منظور تعیین اختلاف بین گروه‌ها، از پس‌آزمون Tukey استفاده گردید. در مورد مقایساتی که بین دو فاکتور انجام می‌شد از آزمون T-Test و از ضریب همبستگی پیرسون، برای تعیین رابطه درونی بین پارامترها استفاده شد. همچنین از آزمون‌های چند متغیره مانند خوشه‌بندی سلسله مراتبی، تجزیه و تحلیل مؤلفه‌های اصلی (PCA) و تجزیه و تحلیل همبستگی کانونی (CCA) استفاده شد. برای رسم نمودارها و جداول از نرم‌افزار Excel-2010 و به منظور تجزیه و تحلیل داده‌ها از نرم‌افزار SPSS-22، Primer-6 و Biodiversity pro-2 استفاده شد.

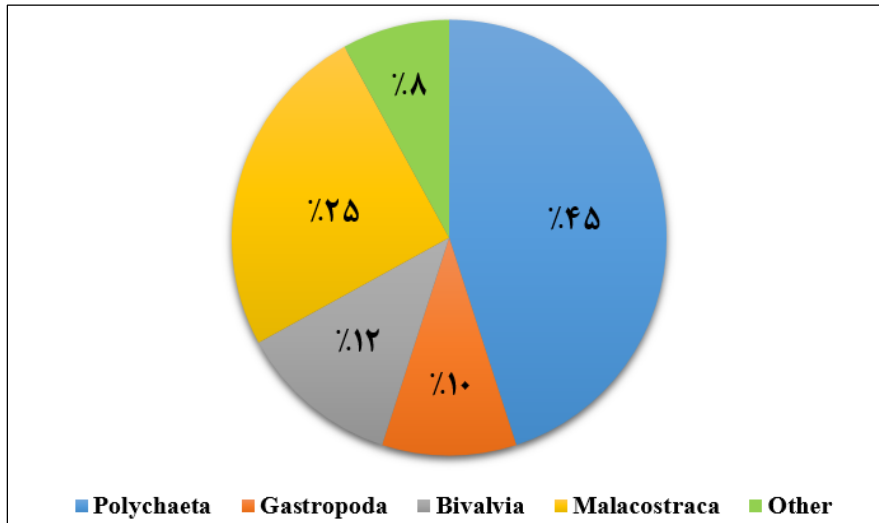
نتایج

بر اساس یافته‌های پژوهش، در مجموع ۴۹ تاکسون (جنس و گونه) مختلف از ۳۹ خانواده و ۸ رده مختلف ماکروبتوزها شناسایی شد. رده کرم‌های پر تار (Polychaeta) با ۲۳ تاکسون بیشترین تنوع را نشان دادند و بعد از آن‌ها سخت‌پوستان و رده مالاکوسترا (Malacostraca) با ۱۲ تاکسون، دوکفه‌ای‌ها (Bivalvia) با ۶ تاکسون، شکم پایان (Gastropoda) با ۵ تاکسون و سایر گروه‌ها (خارداران، خیار سانان و حشرات) هر کدام ۱ تاکسون در ترکیب جمعیتی ماکروبتوزهای منطقه مطالعاتی مشاهده شدند. جدول ۲ رده‌بندی گونه / جنس‌های شناسایی شده و شکل‌های ۲ و ۳ به ترتیب درصد حضور رده‌های مختلف ماکروبتوزی را در کل منطقه مطالعاتی و نیز به تفکیک ایستگاه‌ها نشان می‌دهند.

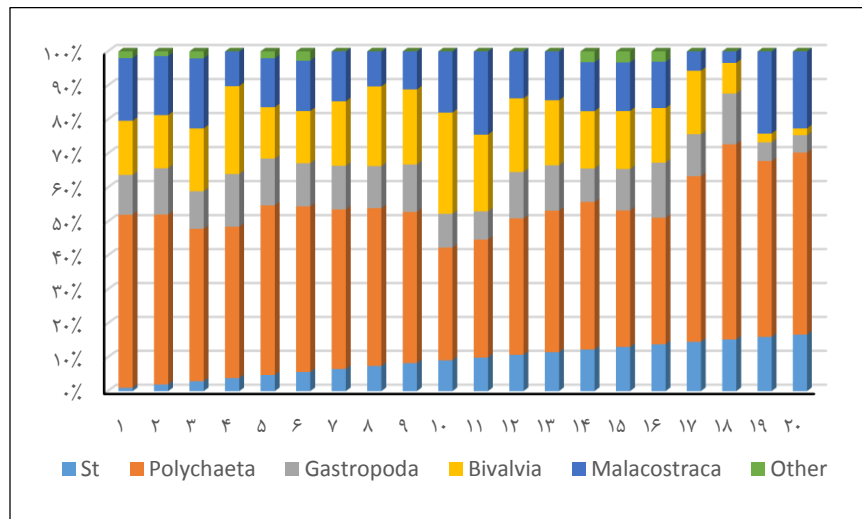
جدول ۲: رده‌بندی تاکسون‌های شناسایی شده (خلیج نایبند - ۱۳۹۷).

	Phylum	Class	Family	Genus/Species
۱	Annelida	Polychaeta	Aphroditidae	<i>Lepidonotus carinulatus</i>
۲	Annelida	Polychaeta	Capitellidae	<i>Capitella capitata</i>
۳	Annelida	Polychaeta	Cirratulidae	<i>Cirratulus cirratus</i>
۴	Annelida	Polychaeta	Cirratulidae	<i>Tharyx sp.</i>
۵	Annelida	Polychaeta	Glyceridae	<i>Glycera alba</i>
۶	Annelida	Polychaeta	Glyceridae	<i>Glycera convoluta</i>
۷	Annelida	Polychaeta	Nephtyidae	<i>Nephtys cirrosa</i>
۸	Annelida	Polychaeta	Nephtyidae	<i>Nephtys dibranchis</i>
۹	Annelida	Polychaeta	Nephtyidae	<i>Nephtys sp.</i>
۱۰	Annelida	Polychaeta	Sabellidae	<i>Jasmineria sp.</i>
۱۱	Annelida	Polychaeta	Serpulidae	<i>Hydroides sp.</i>

	Phylum	Class	Family	Genus/Species
۱۲	Annelida	Polychaeta	Spionidae	<i>Prionospio pinnata Ehlers</i>
۱۳	Annelida	Polychaeta	Spionidae	<i>Prionospio polybranchiata</i>
۱۴	Annelida	Polychaeta	Syllidae	<i>Syllis sp.</i>
۱۵	Annelida	Polychaeta	Flabelligeridae	<i>Flabelligera sp.</i>
۱۶	Annelida	Polychaeta	Maldanidae	<i>Petaloproctus sp.</i>
۱۷	Annelida	Polychaeta	Nereididae	<i>Hediste diversicolor</i>
۱۸	Annelida	Polychaeta	Nereididae	<i>Perinereis sp.</i>
۱۹	Annelida	Polychaeta	Oweniidae	<i>Owenia fusiformis</i>
۲۰	Annelida	Polychaeta	Spionidae	<i>Scolecopsis sp.</i>
۲۱	Annelida	Polychaeta	Sternaspidae	<i>Sternaspis sp.</i>
۲۲	Annelida	Polychaeta	Nereididae	<i>Perinereis cultrifera</i>
۲۳	Annelida	Polychaeta	Terebellidae	<i>Terebella sp.</i>
۲۴	Mollusca	Gastropoda	Hydrobiidae	<i>Hydrobia ulvae</i>
۲۵	Mollusca	Gastropoda	Potamididae	<i>Cerithidea cingulata</i>
۲۶	Mollusca	Gastropoda	Obolidae	<i>Finella sp.</i>
۲۷	Mollusca	Gastropoda	Olividae	<i>Ancilla sp.</i>
۲۸	Mollusca	Gastropoda	Onchidiidae	<i>Phasionella solida</i>
۲۹	Mollusca	Bivalvia	Veneridae	<i>Paphia gallus</i>
۳۰	Mollusca	Bivalvia	Mytilidae	<i>Septifer bilocularis</i>
۳۱	Mollusca	Bivalvia	Mytilidae	<i>Mytilus sp.</i>
۳۲	Mollusca	Bivalvia	Mytilidae	<i>Callista multiradiata</i>
۳۳	Mollusca	Bivalvia	Veneridae	<i>Marcia opima</i>
۳۴	Mollusca	Bivalvia	Solenidae	<i>Solen sp.</i>
۳۵	Arthropoda	Malacostraca	Ampeliscidae	<i>Ampelisca sp.</i>
۳۶	Arthropoda	Malacostraca	Liljeborgiidae	<i>Liljeborgia sp.</i>
۳۷	Arthropoda	Malacostraca	Xanthidae	<i>Actaea sp.</i>
۳۸	Arthropoda	Malacostraca	Ocypodidae	<i>Uca sindensis</i>
۳۹	Arthropoda	Malacostraca	Anthuridae	<i>Apanthuras sp.</i>
۴۰	Arthropoda	Malacostraca	Bodotriidae	<i>Cyclaspis sp.</i>
۴۱	Arthropoda	Malacostraca	Bodotriidae	<i>Eocuma sp.</i>
۴۲	Arthropoda	Malacostraca	Paguridae	<i>Gonodactylus sp.</i>
۴۳	Arthropoda	Malacostraca	Talitridae	<i>Diogenes sp.</i>
۴۴	Arthropoda	Malacostraca	Gonodactylidae	<i>Orchestia sp.</i>
۴۵	Arthropoda	Malacostraca	Gonodactylidae	<i>Gonodactylus sp.</i>
۴۶	Arthropoda	Malacostraca	Ocypodidae	<i>Macrophthalmus pectinipes</i>
۴۷	Echinodermata	Holothuroidea	Holothuriidae	<i>Holothuria sp.</i>
۴۸	Echinodermata	Echiura	Echinoidea	<i>Echinoidea sp.</i>
۴۹	Arthropoda	Insecta	Insecta	<i>Insect Larve 1</i>

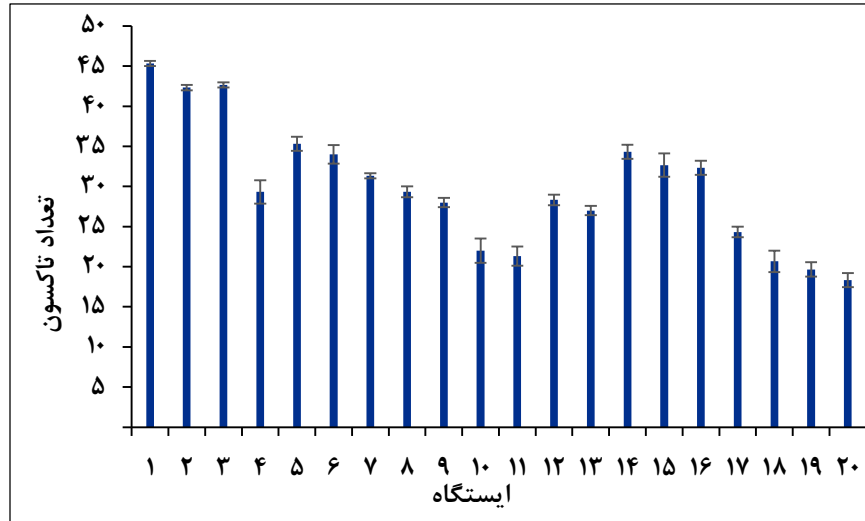


شکل ۲: درصد حضور رده‌های مختلف ماکرو بنتوزی در منطقه مطالعاتی (خلیج نایبند-۱۳۹۷).

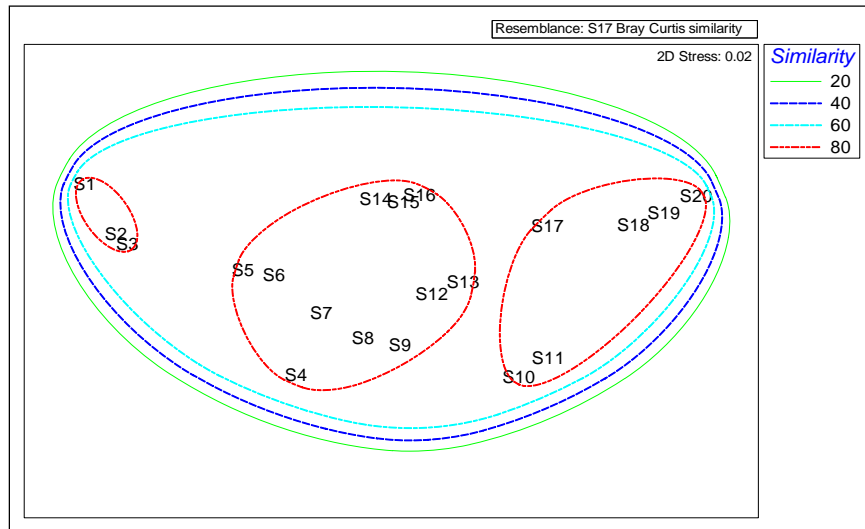


شکل ۳: درصد حضور رده‌های مختلف ماکرو بنتوزی در هر ایستگاه (خلیج نایبند-۱۳۹۷).

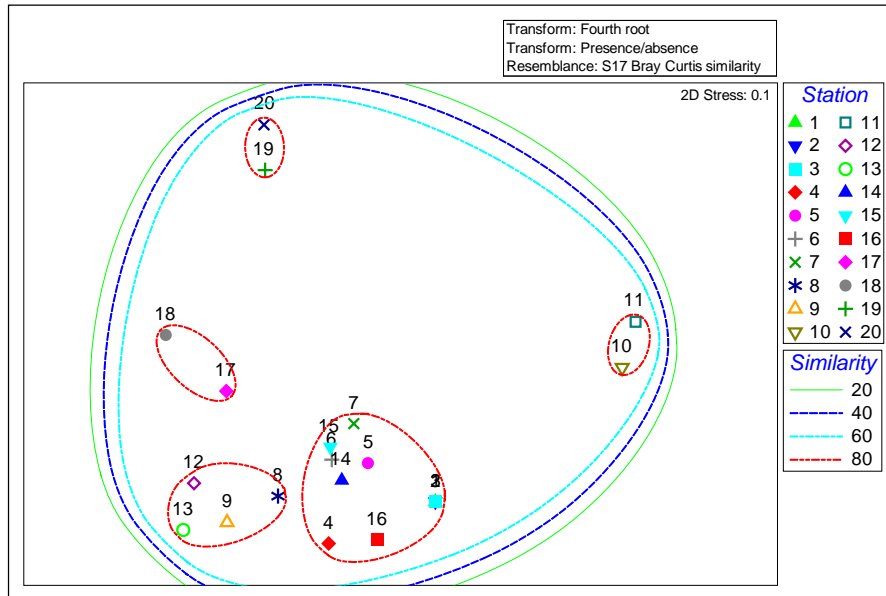
همچنین بیشترین تعداد تاکسون در ایستگاه شماره ۱ (۴۵ تاکسون) و کمترین تعداد با ۱۸ تاکسون در ایستگاه شماره ۲۰ مشاهده شد. میانگین تعداد تاکسون‌ها در هر ایستگاه 29.93 ± 1.73 بود. شکل ۴ تعداد تاکسون‌ها را به تفکیک هر ایستگاه، شکل ۵ گروه‌بندی شکل گرفته در اثر تعداد تاکسون را در هر ایستگاه و شکل ۶ گروه‌بندی شکل گرفته در اثر حضور یا عدم حضور گونه‌ها را بر اساس نمودار مقیاس گذاری چندبعدی (MDS) نشان می‌دهد.



شکل ۴: میانگین تعداد تاکسون‌های مشاهده‌شده در هر ایستگاه ($P < 0.01$) - (خلیج نایبند - ۱۳۹۷).

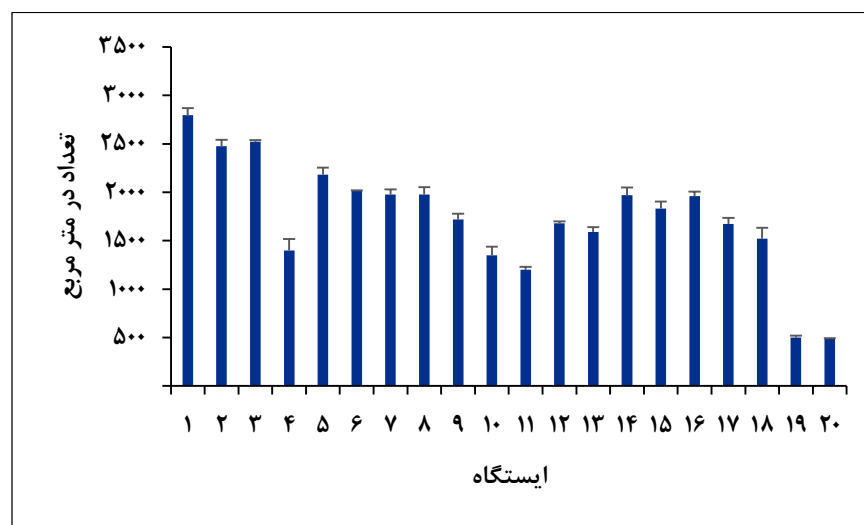


شکل ۵: نمودار MDS و گروه‌بندی ایستگاه‌ها بر اساس تعداد تاکسون (خلیج نایبند - ۱۳۹۷).



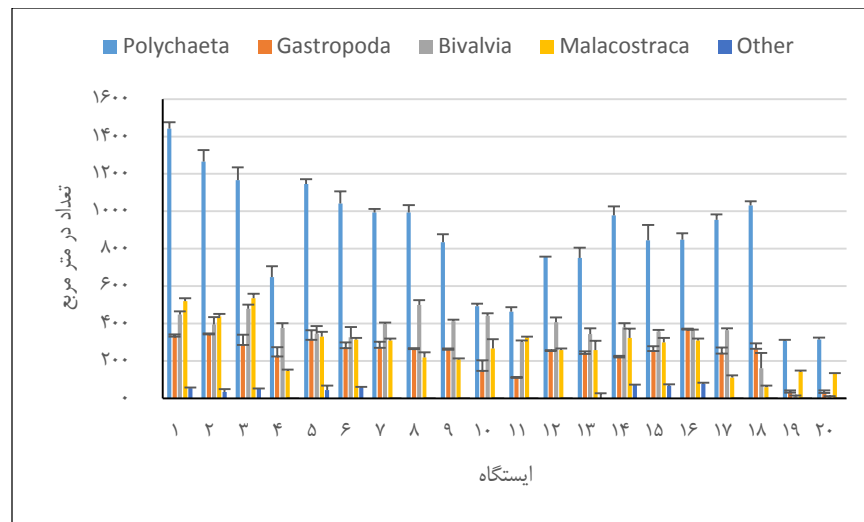
شکل ۶: نمودار MDS و گروه‌بندی ایستگاه‌ها بر اساس حضور و عدم حضور گونه‌ها (خلیج نایبند - ۱۳۹۷).

در این مطالعه در مجموع ۲۰ ایستگاه نمونه‌برداری با ۳ تکرار برای هر ایستگاه (جمعاً ۶۰ نمونه رسوب)، ۳۴۸۲۵ عدد ماکروبتوز جداسازی شد. نتایج فراوانی و تراکم گونه‌های نشان داد میانگین تعداد ماکروبتوزها در منطقه مطالعاتی برابر با $130/77 \pm 1741$ فرد در مترمربع ثبت شد و بیشینه و کمینه تراکم ماکروبتوز در میان ایستگاه‌های موردسنجش به ترتیب در ایستگاه شماره ۱ با میانگین $2798 \pm 70/20$ و ایستگاه شماره ۲۰ با $489/7 \pm 2/64$ فرد در مترمربع گزارش شد. آنالیزهای آماری بیانگر اختلاف معنی‌داری در تراکم ماکروبتوزها در میان ایستگاه‌های مختلف است ($P < 0.05$). شکل ۷ تراکم ماکروبتوزها را در هر یک از ایستگاه‌ها نشان می‌دهد.



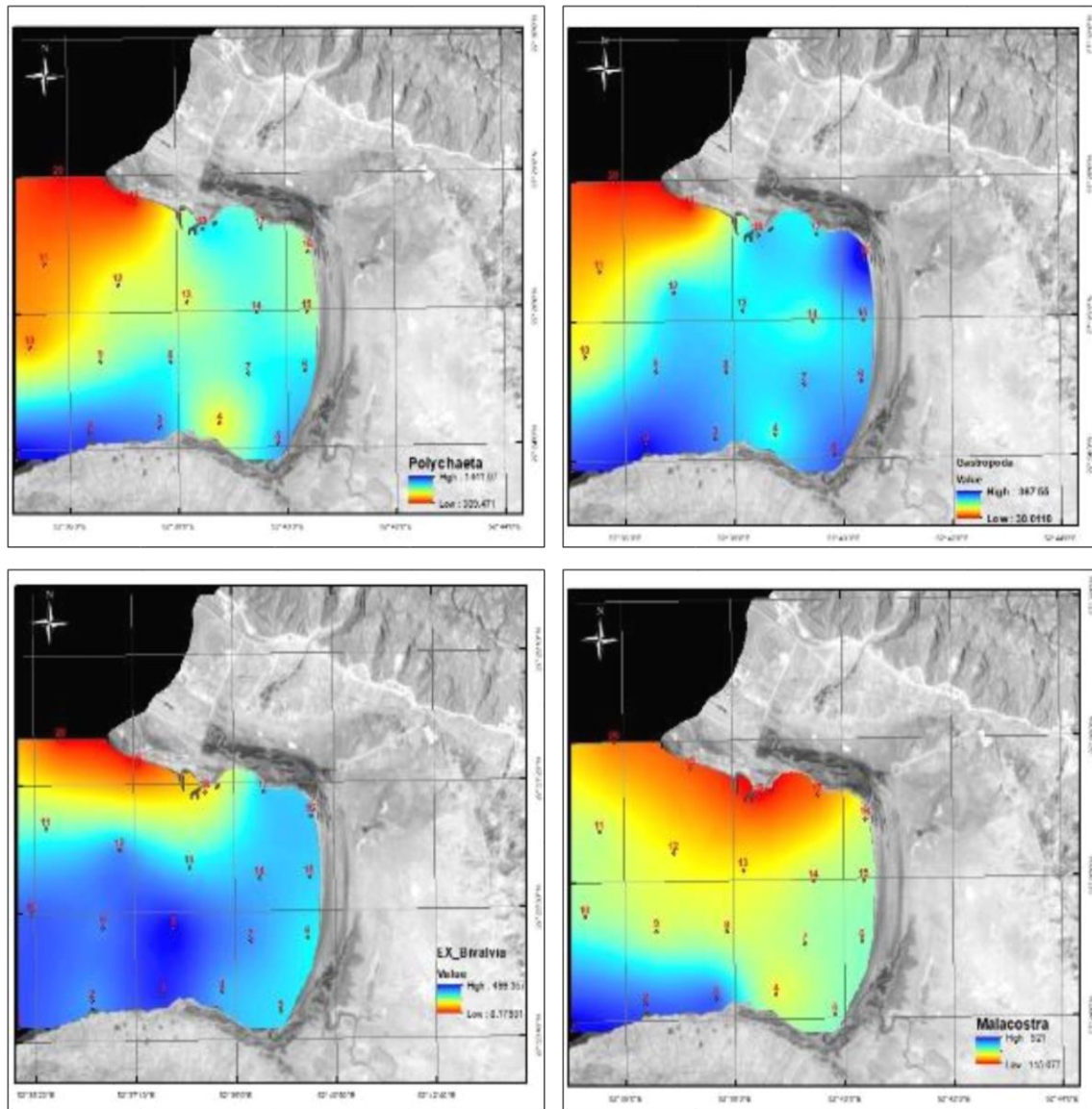
شکل ۷: تراکم مجموع ماکروبتوزها به تفکیک ایستگاه ($P < 0.05$) - (خلیج نایبند - ۱۳۹۷).

همچنین شاخص‌های فراوانی و تراکم به تفکیک سطوح مختلف تاکسونومیک ماکروبتوزها نیز مورد محاسبه قرار گرفت. بر این اساس در سطح جنس/گونه بیشترین فراوانی و تراکم با میانگین ۲۴۷/۴۶ فرد در هر مترمربع متعلق به گونه کرم پر تار *Capitella capitata* بود. در سطح تاکسونومیک رده (Class) نیز در مجموع تمامی ایستگاه‌ها پر تاران با میانگین ۸۶۸ فرد در مترمربع بیشترین تراکم را نشان دادند. همچنین تراکم رده‌های مختلف به تفکیک ایستگاه در شکل ۸ و پراکنش مکانی این رده‌ها (بر اساس داده‌های فراوانی) در شکل ۹ نشان داده شده است. به علاوه با استفاده از داده‌های فراوانی هر یک از ایستگاه‌ها و با استفاده از شاخص شباهت بری-کورتیس اقدام به گروه‌بندی ایستگاه‌های مطالعاتی شد. مطابق شکل ۱۰ در سطح شباهت ۸۰ درصد می‌توان ایستگاه‌های بیست‌گانه مطالعاتی را به ۷ گروه تقسیم نمود.

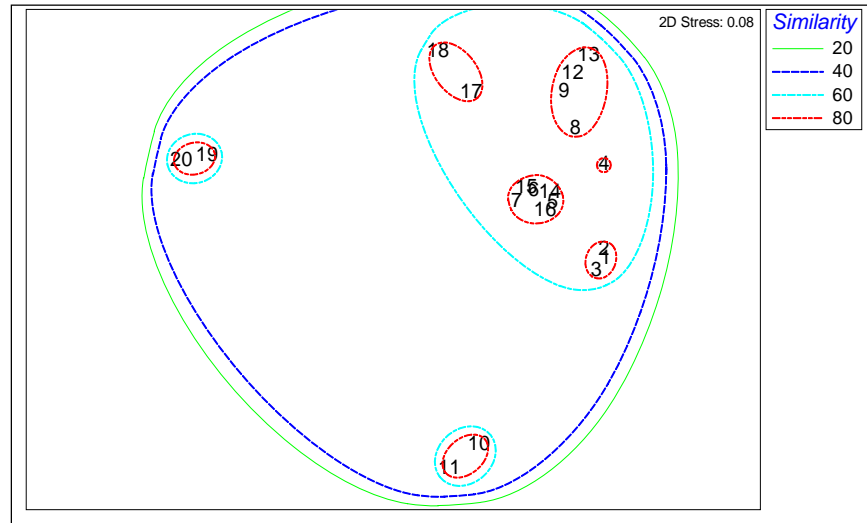


شکل ۸: تراکم رده‌های مختلف ماکروبتوزها در ایستگاه‌های مطالعاتی- (خلیج نایبند - ۱۳۹۷).

- (■) Polychaeta پر تاران (■) شکم پایان Gastropoda
 (■) Bivalvea دوکفه‌ای‌ها (■) Malacostraca



شکل ۹: پراکنش مکانی پر تاران (A) شکم پایان (B) دوکفه‌ای‌ها (C) و مالاکوسترا (D) - (خلیج نایبند - ۱۳۹۷).



شکل ۱۰: نمودار MDS، گروه‌بندی ایستگاه‌ها بر اساس فراوانی گونه‌ها و شاخص شباهت بری-کور تیس (خلیج ناپیند - ۱۳۹۷).

بحث و نتیجه‌گیری

نقش بی‌مهرگان کف زی در انتقال انرژی در اکوسیستم‌های آبی از اهمیت ویژه‌ای برخوردار بوده و مطالعه جوامع بنتوزی معیار مناسبی برای ارزیابی اکولوژیک یک اکوسیستم آبی است. جوامع کف زی نسبتاً آهسته به تغییرات فاکتورهای محیطی در اکوسیستم پاسخ می‌دهند، بنابراین راهنمای خوبی برای ردیابی تغییرات در یک اکوسیستم در طی دوره‌های طولانی مدت می‌باشند. در این مطالعه در مجموع ۲۰ ایستگاه نمونه‌برداری، ۳۴۸۲۵ عدد ماکروبتوز جداسازی و شناسایی شد. میانگین تعداد ماکروبتوزها در منطقه مطالعاتی برابر با $1741 \pm 130/77$ فرد در مترمربع ثبت شد. فاصله زیاد بین حداکثر و حداقل تراکم مشاهده‌شده نشان از اختلاف زیاد بین ایستگاه‌ها داشت که این موضوع با آزمون ANOVA یک‌طرفه مورد تأیید قرار گرفت و پس از آزمون Tukey نیز میزان اختلاف بین گروه‌ها را مشخص نمود. به‌طور مشخص ایستگاه‌های نزدیک به منطقه عسلویه (ایستگاه ۱۹ و ۲۰) و به‌عبارت‌دیگر ایستگاه‌هایی که میزان بالاتری از آلاینده‌ها را داشتند از سایر ایستگاه‌ها جدا شده بودند. این جداسازی در نمودار MDS (شکل ۱۰) به خوبی نمایش داده شد.

معنی‌دار بودن اختلاف پارامترهای بیولوژیک (فراوانی و ترکیب گونه‌ای) میان ایستگاه‌های مختلف نشان از اختلاف در ساختار اجتماعات ماکروبتوزی در بین آن‌هاست. این تفاوت در مطالعات دیگری نیز به‌نوعی منعکس شده است. نوری نژاد (۱۳۹۱) که تنوع، فراوانی، پراکنش و تولید ثانویه ماکروبتوزهای منطقه جزر و مدی و زیر جزر و مدی استان بوشهر را در رساله دکتری خود در سال ۱۳۹۱ مطالعه کرده نتایج متفاوتی را منتشر نمود. او در طی تحقیق خود از سه عمق مختلف (صفر، ۵ و ۱۰ متر) اقدام به نمونه‌برداری و در مجموع ۵۶۱۱ قطعه ماکروبتوز جمع‌آوری کرد. نزدیک به ۴۶ درصد فراوانی‌ها متعلق به عمق ۵ متری بودند و منطقه ساحلی تنها ۱۳ درصد فراوانی‌ها را شامل شد. در چرایی تفاوت میان میزان فراوانی‌ها می‌توان به محدوده مطالعاتی اشاره نمود، هرچند یکی از ایستگاه‌های مطالعاتی نوری نژاد (۱۳۹۱) منطقه عسلویه بود اما دیگر ایستگاه‌ها شامل گناوه، فراکه، شیف، بندرگاه و رستمی از نظر نوع بافت بستر ترکیب متفاوتی داشتند و این می‌تواند از دلایل تفاوت در میزان فراوانی‌ها باشد. پایین‌وجود نوری نژاد (۱۳۹۱) کمترین میزان تراکم سالانه ماکروبتوزها در طول سواحل استان بوشهر را در عسلویه (۶۶۳/۸۵ فرد) گزارش می‌کند و آن را ناشی از اثرات منفی آلودگی‌های صنایع مستقر در منطقه پارس جنوبی می‌داند و بیشترین تراکم را هم در ایستگاه فراکه

(۱۶۰۹ فرد) و بعدازآن در گناوه در شمال استان بوشهر ثبت می‌کند؛ اما Farsi و همکاران (۲۰۱۵) نتایج کاملاً متفاوتی را منتشر نمودند. او در طول یک فصل نمونه‌برداری (زمستان) به بررسی اثرات شرایط محیطی بر روی پراکنش ماکروبتوزهای سواحل استان بوشهر (عسلویه، رستمی، بندرگاه، شیف، فراکه و گناوه) پرداخت. مطابق نتایج این مطالعه، به‌طور میانگین ۱۹۱۰ عدد ماکروبتوز در هر مترمربع از سواحل بوشهر حضور دارد؛ اما نکته قابل‌توجه این است که برخلاف نوری نژاد (۱۳۹۱) فراوانی (تراکم) ماکروبتوزها در عسلویه (۲۶۰۳ فرد) بعد از بندر رستمی (۲۸۸۰ فرد) بیشترین میزان را در کل سواحل بوشهر دارد و کمترین تراکم ماکروفتونا در گناوه (۱۳۴۰ فرد) گزارش گردید.

سلیمی (۱۳۹۸) در رساله دکتری خود با عنوان تعیین تولیدات اولیه و ثانویه اجتماعات ساکن جنگل‌های مانگرو خلیج نایبند و پایش سلامت اکولوژیک، حداکثر تراکم ماکروبتوزها در جنگل‌های حرا نایبند را به ترتیب با میزان عددی ۵۵۸۵ و ۵۳۶۲ عدد در مترمربع در دو فصل تابستان و زمستان گزارش نمود. فصل تابستان با دو فصل پاییز و بهار تفاوت معنی‌داری داشت ($P < 0.05$). حداقل تراکم ماکروبتوزها در فصل بهار با میزان ۱۹۵۸ عدد در مترمربع مشاهده شد که اختلاف معنی‌داری را با سایر فصول نشان داد. در مجموع، حداقل تراکم ماکروبتوزها در طول دوره نمونه‌برداری در فصول پاییز و بهار دیده شد. این نتیجه برخلاف مطالعه Hamzavi و همکاران (۲۰۱۲) درخور بساتین بود که بیان داشت بیشترین فراوانی (۷۵۳۶ فرد در مترمربع معادل ۳۸ درصد کل فراوانی) متعلق به پاییز بوده است. بالاترین تراکم ماکروبتوزها در فصل زمستان است و در فصل گرم این تراکم کاهش می‌یابد. دمای پایین‌تر و ثبات شرایط محیطی رژیم‌های گرمسیری علت افزایش تراکم ماکروبتوزها در فصل سرد است. در مقابل، کاهش تولیدمثل یک نتیجه دمای بالا است که سبب کاهش تراکم ماکروبتوزها در فصل گرم می‌شود (Saravanakumar *et al.*, 2007).

در مورد ترکیب گونه‌ای، در پژوهش حاضر در مجموع ۴۹ تاکسون (جنس و گونه) مختلف از ۳۹ خانواده و ۸ رده مختلف ماکروبتوزها شناسایی شد. رده کرم‌های پر تار با ۲۳ تاکسون بیشترین تنوع را نشان دادند و بعد از آن‌ها سخت‌پوستان و رده Malacostraca با ۱۲ تاکسون، دوکفه‌ای‌ها با ۶ تاکسون، شکم پایان با ۵ تاکسون و سایر گروه‌ها (خارداران، خیار سانان و حشرات) هرکدام ۱ تاکسون در ترکیب جمعیتی ماکروبتوزهای منطقه مطالعاتی مشاهده شدند. در مورد تعداد تاکسون‌های مشاهده‌شده در هر ایستگاه نیز تفاوت‌های معنی‌داری ($P < 0.01$) در میان ایستگاه‌ها مشاهده شد. در اینجا نیز ایستگاه‌های مجاور با منطقه عسلویه (۱۰، ۱۱، ۱۸، ۱۹ و ۲۰) با تشکیل گروه جداگانه، کمترین تعداد تاکسون را در خود جای داده بودند.

در مطالعه حاضر فراوانی هر یک از رده‌های اصلی (پر تاران، شکم پایان، دوکفه‌ای‌ها و سخت‌پوستان) شناسایی شده نیز به‌صورت مجزا مورد محاسبه و تجزیه و تحلیل قرار گرفت. ایستگاه‌های مطالعاتی در مورد فراوانی این گروه‌ها نیز اختلافات معنی‌دار ($P < 0.05$) خود را نشان دادند و گروه‌بندی‌های شکل‌گرفته در مباحث قبل در اینجا نیز با اندکی تفاوت ایجاد شدند. از مهم‌ترین ویژگی‌های نتایج این بخش درصد بالای فراوانی پر تاران بود به‌نحوی که بیش از نیمی (۵۰/۳۱ درصد) از گونه‌های شمارش شده متعلق به این رده بود. مهم‌ترین عامل در افزایش درصد فراوانی گروه‌های پر تاران در کل این مطالعه نسبت به کارهای مشابه قبلی، وجود ایستگاه‌های نزدیک به منطقه عسلویه بوده است به‌نحوی که توانسته با کاهش درصد سایر گروه‌ها و افزایش فراوانی پر تاران سهم این گروه را در کل بالا ببرد. درصد فراوانی پر تاران در ایستگاه دور از عسلویه ۴۷ درصد و در ۳ ایستگاه نزدیک عسلویه ۶۴/۶۱ درصد بود. در مورد افزایش سهم پر تاران در ترکیب گونه‌ای نیز احتمالاً این دلیل می‌تواند منطقی باشد که در بیشتر مطالعات انجام‌شده به دلیل مشکل بودن شناسایی پر تاران، اغلب نمونه‌های پر تار به‌عنوان یک‌گونه در نظر گرفته می‌شوند لذا درصد گونه‌های پر تار کاهش می‌یابد درحالی‌که در همان مطالعات فراوانی پر تاران اغلب بالاتر است.

در مطالعه حاضر با استفاده از منابع مختلف و ارسال نمونه‌ها و یا تصاویر مربوط به کرم‌های پر تار برای متخصصین تا حد امکان نسبت به شناسایی در سطح گونه و یا جنس اقدام شد. برای مقایسه ترکیب گونه‌ای می‌توان به مطالعات Kamalifar و همکاران (۲۰۱۶) بر روی جوامع ماکروبتوزی خور بیدخون (مجاور منطقه مطالعاتی) اشاره داشت او نیز بیشترین تعداد گونه را در میان پر تاران شناسایی نمود. Kamalifar و همکاران (۲۰۱۶)

در مجموع از رویشگاه حرا بیدخون در مجموع ۳۵ گونه از درشت کف زیان جانوری (ماکروفونا) متعلق به ۲۷ خانواده از ۲۰ راسته و هفت رده تاکسونومیک شناسایی کرد، پلی کیت‌ها ده گونه، شکم پایان نه گونه، سخت‌پوستان هشت گونه، حشرات چهار گونه، دو کفه‌ای‌ها دو گونه، توربیلاریا یک‌گونه و فاسکولوزوماتیدا یک‌گونه، ترکیب گونه‌ای نتایج او را تشکیل می‌دادند. در توجیه تفاوت میان نتایج، می‌توان به نمونه‌برداری به صورت فصلی و منطقه محدود مطالعاتی در پژوهش Kamalifar اشاره نمود. او بیان می‌کند با وجود تغییرات جزئی در تعداد گونه‌های فصول مختلف، ترکیب آن‌ها دچار تغییرات قابل ملاحظه‌ای بود. این موضوع به اهمیت مطالعه کف زیان در بازه‌های زمانی کوچک‌تر (حتی ماهانه) اشاره دارد که از دلایل آن می‌توان به طول زندگی کوتاه‌مدت آن‌ها و اثرپذیری شدید گونه‌های حساس به تغییرات محیطی اشاره نمود.

نوری نژاد (۲۰۱۲) نیز در سواحل بین جزر و مدی استان بوشهر توانست ۸ شاخه جانوری شامل کرم‌های حلقوی، بندپایان، نرم‌تنان، ایکتیورها، نماتودها، خارتنان، نمرتینا و کرم‌های پهن را جمع‌آوری و جداسازی کند. در این میان راسته پر تاران (پلی کیت‌ها) با ۲۷ خانواده و ۳۱ جنس از شاخه کرم‌های حلقوی بیش از ۷۴ درصد از تعداد کل نمونه‌ها را در هر سه طبقه عمقی تشکیل می‌دادند. به دنبال پلی کیت‌ها، بندپایان، نرم‌تنان و خارتنان به ترتیب با ۱۶/۱، ۲/۸ و ۱/۲۹ درصد و بقیه گروه‌ها در مجموع کمتر از ۵/۸۱ درصد از تعداد کل نمونه‌ها را شامل می‌شدند. ترکیب فراوانی گونه‌های پژوهش Farsi و همکاران (۲۰۱۵) نیز در ایستگاه عسلویه شامل ۴۹ درصد نرم‌تنان، ۲۳ درصد پر تاران و ۲۲ درصد سخت‌پوستان بود. در مطالعه حاضر بیشترین فراوانی گونه‌های ماکروبتوز به ترتیب متعلق به شکم پایان (۱۷ گونه)، دو کفه‌ای‌ها (۱۲ گونه)، ناجور پایان (۱۱ گونه)، پر تاران (۱۰ گونه) و سخت‌پوستان عالی (۱۰ گونه) بودند (Farsi et al., 2015). در پژوهش سلیمی (۱۳۹۸)، در مجموع همه گروه‌های بنتوزی مشاهده شده، بیشترین درصد گونه‌ها متعلق به شکم پایان با ۲۸ درصد و کمترین مربوط به گروه سخت‌پوستان عالی با ۱۶ درصد است. در مطالعات مشابه خارجی نیز Ochieng و همکاران (۲۰۲۱) در شرق اوگاندا به دلیل ورود پساب‌های ورودی به حوزه آبی Aturukuku شاخص تنوع شانون-وینر، غنای گونه‌ای و یکنواختی گونه‌ها را پائین ارزیابی نمودند. همچنین Yanbin و همکاران (۲۰۲۱) در بررسی پاسخ جوامع ماکروبتیک در خلیج دالیان چین به این نتیجه رسیدند که تخریب جوامع ماکروبتیک تحت تأثیر انفجار خط لوله نفت خام پس از گذشت شش سال از حادثه مذکور بازسازی نشده بود و این جوامع همچنان تحت تأثیر استرس محیطی قرار داشتند. Rehitha و همکاران (۲۰۲۱) نیز تأثیر فعالیت‌های اکتشاف نفت و گاز بر ساختار جامعه ماکروبتیک حوضه کریشنا-گوداوری (ساحل رووا)، خلیج غربی بنگال را بررسی نمودند. نتایج، تأثیر منفی فعالیت‌های اکتشاف نفت و گاز بر جامعه ماکروبتیک را نشان داد. سایت‌های چاه نفت، عامل غنی‌سازی ($EF > 10$) اکثر فلزات سنگین (مس، روی، سرب، کروم) با منشأ انسانی بود. جامعه ماکروبتیک کاهش چشمگیری در زیست‌توده، تراکم و تنوع در اطراف سکوه‌های چاه نفت نشان داد. همچنین فراوانی Polychaetes به سمت سکوه‌های چاه نفت افزایش یافت در حالی که Cumacea در ایستگاه‌های ساحلی غالب بود. چگالی کمتر Ampelisca sp. در سکوه‌های چاه نفت و تراکم بیشتر در مکان‌های دور از چاه‌های نفت نشان‌دهنده آثار سوء فعالیت‌های اکتشافی بود. در مطالعه دیگری Llanos و همکاران (۲۰۲۰) تنوع عملکردی در جامعه ماکروبتیک بین جزر و مدی در سواحل متأثر از فاضلاب جنوب غربی اقیانوس اطلس را بررسی نمودند. در این تحقیق اثر آلودگی فاضلاب در منطقه ساحلی جنوب غربی اقیانوس اطلس، با استفاده از تجزیه و تحلیل صفات بیولوژیکی (BTA) و شاخص‌های عملکردی مورد آزمایش قرار گرفت. نتایج نشان داد تغییراتی در ساختار عملکردی جوامع ماکروبتیک بین محل خروج فاضلاب و محل‌های دورافتاده ایجاد شده است. Vineetha و همکاران (۲۰۲۰) در مطالعه خود در خور کوچین در امتداد ساحل جنوب غربی هند نیز به این نتیجه رسیدند که پیامدهای سیل فاجعه‌بار بر کیفیت زیستگاه با کاهش قابل توجه مواد مغذی محلول و غلظت فلزات سنگین در آب خور، موجب فراوانی و تنوع بیشتر جامعه ماکروبتیک شده است. Abroguena و همکاران (۲۰۲۱) در بررسی جوامع ماکروبتیک در زیستگاه کم‌عمق علف دریایی و مانگرو در قسمت جنوبی عربستان سعودی و دریای سرخ نتیجه گرفتند که تفاوت فراوانی ماکروبتیک‌ها با نوع رسوب و وجود یا عدم وجود علف دریایی مرتبط است.

با توجه به نتایج تحقیقات متعدد داخلی و خارجی که نمونه‌هایی از آن ذکر شد جوامع ماکروبنیتیک و شاخص‌های جمعیتی آن‌ها بشدت متأثر از وضعیت فاکتورهای محیط زیستی زیستگاه و آلاینده‌های محیط‌زیست دریایی می‌باشند. نظر به اینکه خلیج نایبند نیز در شمال خلیج فارس و در بلافصل منطقه ویژه اقتصادی انرژی پارس جنوبی، تحت تأثیر طرح‌های توسعه نفت، گاز و پتروشیمی قرار دارد، جوامع زیستی آن به‌ویژه جوامع بنیتیک علاوه بر فاکتورهای طبیعی محیط‌زیست متأثر از آلاینده‌های احتمالی این صنایع می‌باشند لذا ایجاد بستری برای تحقیقات محیط زیستی بیشتر پیرامون آن در قالب طرح‌های پژوهشی برای اطلاع از تغییرات اکوسیستم و پیشگیری از زیان‌های وارده اجتناب‌ناپذیر است.

منابع

- دشتی، س.، نظری پرچستان، س.، سبزقبایی، غ. و صبا، م. ص.، ۱۳۹۱. مطالعه ساختار و تنوع اجتماعات ماکروبنیتیک در خور اسماعیلی ماهشهر. اکو بیولوژی تالاب، ۳ (۱۲) صفحات: ۳-۱۲.
- سازمان منطقه ویژه اقتصادی انرژی پارس، <http://www.pseez.ir>.
- سلیمی، ع.، ۱۳۹۸. تعیین تولیدات اولیه و ثانویه اجتماعت ساکن جنگل‌های مانگرو خلیج نایبند و پایش سلامت اکولوژیک. دانشگاه علوم و فنون دریایی خرمشهر، زیست‌شناسی دریا. پایان‌نامه مقطع دکتری. چند صفحه؟.
- کامرانی، ا.، بهزادی، س. و هاشمی پور، ف.، ۱۳۹۲. بررسی تنوع و شناسایی دوکفه‌ای‌ها و شکم پایان سواحل شهر بندرعباس (خلیج فارس). اقیانوس‌شناسی، ۴ (۱۳): صفحات ۵۳-۶۰.
- کریمی خانیکی، ع.، ۱۳۸۳. سواحل ایران. انتشارات پژوهشکده حفاظت خاک و آبخیزداری، تهران. صفحات ۲۵۷-۲۵۶.
- مورکی، ن.، مقدسی، ب.، منوچهری، ح. و چنگیزی، ر.، ۱۳۹۵. سنجش غلظت فلزات سنگین و ارزیابی درجه آلودگی رسوبات خور هاله و خلیج نایبند و تأثیر آن بر اجتماعات روزنه داران کف زی. اکو بیولوژی تالاب، ۸ (۲۹): صفحات ۴۸-۴۵.
- نبوی، س. م. ب.، ۱۳۷۷. ارزیابی تأثیرگذاری انسان بر ساختار اجتماعات ماکروبنیتیک خور موسی. همایش دریا، انسان، توسعه، مرکز ملی اقیانوس‌شناسی، تهران، ایران. چند صفحه؟.
- نوری نژاد، م.، ۱۳۹۱. تنوع، فراوانی، پراکنش و تولید ثانویه ماکروبنیتوزهای منطقه جذر و مدی و زیر جذر و مدی استان بوشهر با تأکید بر شاخه کرم‌های حلقوی. دانشگاه آزاد اسلامی واحد علوم و تحقیقات. صفحات ۵۵-۵۰.
- Abroguena, J. B. R., Joydas, T. V., Pappathy, M., Cali, N. A., Alcaria, J. and Shoeb, M., 2021.** Structure and composition of the macrobenthic community associated to shallow mangrove-seagrass habitat along the southern Red Sea coast, Saudi Arabia, *The Egyptian Journal of Aquatic Research*, 47: 61-66.
- Borja, A. and Dauer, D. M., 2008.** Assessing the environmental quality status in estuarine and coastal systems: comparing methodologies and indices. *Ecological indicators*, 8(4): 331-337.
- Craveiro, N., Vinicius de Almeida Alves, R., Menezes da Silva, J., Vasconcelos, E., De Almeida Alves-Junior, F. and Souto Rosa Filho, J., 2021.** Immediate effects of the 2019 oil spill on the macrobenthic fauna associated with macroalgae on the tropical coast of Brazil, *Marine Pollution Bulletin*.
- Farsi, P., Seyfabadi, J., Owfi, F. and Aramli, M. S., 2015.** Effect of environmental conditions on spatial distribution of macrobenthic community in the Bushehr Coasts of the Persian Gulf. *Turkish Journal of Fisheries and Aquatic Sciences*, 15(4): 869-878.
- Fleeger, J. W., Carman, K. R. and Nisbet, R. M., 2003.** Indirect effects of contaminants in aquatic ecosystems. *Science of the total environment*, 317(1-3): 207-233.
- Guerra-García, J. M., Navarro-Barranco, C., Ros, M., Sedano, F., Espinar, R., Fernández-Romero, A., Martínez-Laiz, G., Cuesta J. A., Giráldez I., Morales E., Florido M. and Moreira, J., 2021.** Ecological quality assesment of marinas: An integrative approach combining biological and environmental data, *Journal of Environmental Management*, 286.

- Gray, J. S. and Elliott, M., 2009.** *Ecology of marine sediments: from science to management*. Oxford University Press.
- Gregory, A., 2007.** *Response of macrobenthic communities to oil spills along Goa coast*. Mumbai University, National Institute of Oceanography, Goa, India. MSc. Thesis.
- Hamzavi, S., Kamrani, E., Salarzadeh, A. R. and Salarpouri, A., 2012.** The study of seasonal changes of intertidal macrobenthoses in mangrove forests of Basatin Estuary of Nayband Gulf. *Journal of Applied Environmental and Biological Sciences*, 2(7): 348-357.
- Hosseinzadeh Sahafi, H., Daghooghi, B. and Rameshi, H., 2001.** Persian Gulf Molluscs Atlas. *Iranian Fisheries Research Center*.
- Abroguena, J. B. R., Joydas, T. V., Pappathy, M., Cali, N. A., Alcaria, J. and Shoeb, M., 2021.** Structure and composition of the macrobenthic community associated to shallow mangrove-seagrass habitat along the southern Red Sea coast, Saudi Arabia, *Egyptian Journal of Aquatic Research*, 47:61-66
- Kamalifar, R., Aeinjamshid, K., Nurinejad, M., Dehghan-Mediseh, S. and Vazirizadeh, A., 2016.** Ecological status assessment of Bidkhun mangrove swamp from Bushehr province, Persian Gulf, using macrofauna community structure. *Aquaculture, Aquarium, Conservation & Legislation*, 9(1): 8-19.
- McIntyre, A. D. and Eleftheriou, A., 2005.** *Methods for the study of marine benthos*. Blackwell Science.
- Moopam, R., 1999.** Manual of oceanographic observations and pollutant analysis methods. *ROPME, Kuwait*, 1: 20.
- Llanos, E. N., Saracho Bottero, M. A., Jaubet, M. L., Garaffo, G. V., Hines, E., Cuello, G. V. and Elías, R., 2020.** Functional diversity in the intertidal macrobenthic community at sewage-affected shores from Southwestern Atlantic, *Marine Pollution Bulletin*, V.157.
- Ochieng, H., Gandhi, Willy., Magezi, G., Okot-Okumu, J. and Odong, R., 2021.** Diversity of benthic macroinvertebrates in anthropogenically disturbed Aturukuku River, Eastern Uganda, *African Zoology*, V.56, 85-103
- Pandiyarajan, R. S., Jyothibabu, R., Arunpandi, N., Jagadeesan, L., Parthasarathi, S. and Vishnu, C., 2021.** Seasonality of macrobenthic assemblages and the biotic environmental quality of the largest monsoonal estuary along the west coast of India. *Estuaries and Coasts* is the journal, <https://doi.org/10.1007/s11356-021-13144-w>.
- Rehitha, T. V., Madhu, N. V., Vipindas, P. V., Vineetha, G., Ullas, N., Muraleedharan, K. R. and Nair, M., 2021,** Influence of oil and gas exploration activities on the macrobenthic community structure of the Krishna-Godavari basin (Ravva coast), Western Bay of Bengal, About the journal, *Continental Shelf Research*, V.224.
- Saravanakumar, A., Sesh Serebiah, J., Thivakaran, G.A. and Rajkumar, M., 2007.** Benthic macrofaunal assemblage in the arid zone mangroves of gulf of Kachchh-Gujarat. *Journal of Ocean University of China*, 6(3): 303–309.
- Salimi, E., Skhaei, N., Nourinezhad, M., Savari, A. and Ghaemmaghani, S. N., 2021.** Composition, biomass and secondary production of the macrobenthic invertebrate assemblage in a mangrove forest in Nayband Bay, Persian Gulf. *Regional Studies in Marine Science*, Volume 42.
- Tavanayan S., Sharifian S., Kamrani E., Mortazavi M. S. and Behzadi S., 2021.** Influence of environmental factors on the characteristics of macrobenthic communities in soft bottoms around coral reefs of Larak Island (Persian Gulf), *Journal of Hydroécologie Appliquée*, 21: 93-113.
- Vineethaa, G., Kripa, V., Kusum, A., Komal Karati, K., Rehith. T. V., Vishal, C. R., Vineetha, V. and Manu, M., 2020,** Impact of a catastrophic flood on the heavy metal pollution status and the concurrent responses of the benthic-pelagic community in a tropical monsoonal estuary, *Marine Pollution Bulletin*, V. 155.
- Washburn, T. W., Reuscher, M. G., Montagna, P. A., Cooksey, C. and Hyland, J. L., 2017.** Macrobenthic community structure in the deep Gulf of Mexico one year after the Deepwater Horizon blowout. *Deep-Sea Research Part I: Oceanographic Research Papers*, 127: 21–30.
- Yanbin G., Yuxi, Y., Simon, T., Marco, B., Yu'an, L., Shuang, Tian., Jinqing, Ye., Hao, J. and Guize, L., 2021.** Responses of the macrobenthic community to the Dalian Bay oil spill based on co-occurrence patterns and interaction networks, *Marine Pollution Bulletin*, V.171.

بررسی تنوع، ترکیب، فراوانی و تراکم گونه‌ای جوامع ماکروبنتیک در خلیج نایبند (خلیج فارس) / قنواتی اصل و همکاران